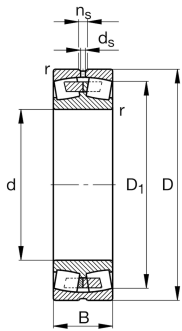
**FAG****23960-B-MB-C2** [🔗](#)

Rodamiento oscilante de rodillos

Rodamiento oscilante de rodillos 239...-B-MB, simétrico, tres bordes

Información técnica



Variante de su producto actual

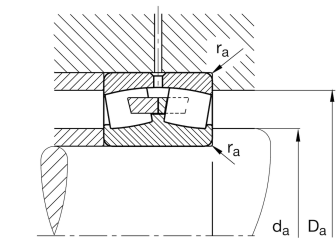
Ejecución	B	Con borde central fijo
Tipo de agujero	Z	Cilíndrico
Jaula	MB	Jaula maciza de latón
Juego radial del rodamiento	C2 (Group 2)	Internal clearance smaller than CN
Función de relubricación	Norma	Estándar

Medidas principales y datos de rendimiento

d	300 mm	Diámetro del agujero
D	420 mm	Diámetro exterior
B	90 mm	Anchura
C_r	1.270.000 N	Capacidad de carga dinámica, radial
C_{0r}	2.650.000 N	Capacidad de carga estática, radial
C_{ur}	170.000 N	Límite de carga por fatiga, radial
n_G	1.780 1/min	Velocidad límite de rotación
n_{gr}	1.000 1/min	Velocidad de referencia
m	38,965 kg	Peso

Medidas de montaje

$d_{a \min}$	312,4 mm	Diámetro mínimo resalte del eje
$D_{a \max}$	407,6 mm	Diámetro máximo del resalte del alojamiento
$r_{a \max}$	2,5 mm	Radio máximo de la ranura





Medidas

r_{\min}	3 mm	Medidas mínimas del chaflán
D_1	384,6 mm	Diámetro del agujero del anillo exterior
d_s	9,5 mm	Diámetro del agujero de engrase
n_s	17,7 mm	Anchura de la ranura de lubricación







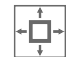
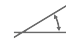

Rango de temperatura

T_{\min}	-30 °C	Temperatura mín. de funcionamiento
T_{\max}	200 °C	Temperatura máx. de funcionamiento

Factores de cálculo

e	0,2	Valor límite de F_a/F_r para la aplicabilidad de dif. Valores de los factores X e Y
Y_1	3,42	Factor de carga axial dinámica
Y_2	5,09	Factor de carga axial dinámica
Y_0	3,34	Factor de carga axial estática

Características

	Carga radial
	Carga axial en un sentido
	Carga axial en ambos sentidos
	Lubricación con grasa
	Lubricación con aceite
	No obturado
	Gran rodamiento
	Errores de alineación estáticos
	Errores de alineación dinámicos